

# 含自旋轨道耦合的三维各向同性谐振子的 四类升降算符

傅美欢<sup>1)2)</sup> 任中洲<sup>1)</sup>

<sup>1)</sup> 南京大学物理系, 南京 210008)

<sup>2)</sup> 南京工业职业技术学院, 南京 210007)

(2003 年 5 月 20 日收到, 2003 年 7 月 29 日收到修改稿)

推导出了含自旋-轨道耦合的三维各向同性谐振子的升、降算符, 给出了谐振子能级的分裂情况.

关键词: 自旋-轨道耦合, 谐振子, 升、降算符

PACC: 0365

## 1. 引 言

升、降算符方法可以用来处理中心力场中粒子的径向 Schrödinger 方程, 考虑到多维中心力场能级的简并性, 特别是  $l$  简并, 需要引进多种升、降算符把同一个 Hamilton 量的相邻能量本征态联系起来. 曾谨言等人已经解出了三维各向同性谐振子的四类升、降算符<sup>[1-3]</sup>. 在此基础上, 本文进一步导出含自旋-轨道耦合的三维各向同性谐振子的四类升、降算符, 在这些算符的作用下, 给出了谐振子能级的分裂情况. 包含自旋-轨道作用的三维谐振子问题有广泛的应用, 核物理中它可以正确给出幻数和壳效应. 当从 Dirac 方程过渡到 Schrödinger 方程时, 也会出现自旋-轨道耦合项, 所以包含耦合项是有意义的.

## 2. 含自旋-轨道耦合的三维各向同性谐振子的四类升、降算符

三维谐振子在势  $V(r) = \frac{1}{2}Kr^2$  ( $K$  为刻画位势强度的参量, 在自然单位制下,  $K=1$ ) 作用下, 如果考虑自旋-轨道耦合, Hamilton 量将会出现一项耦合项 (Thomas 项)<sup>[4,5]</sup>

$$\xi(r)s \cdot l = \frac{1}{2}s \cdot l, \quad (1)$$

式中  $\xi(r) = \frac{1}{2r} \frac{dV}{dr} = \frac{1}{2}$  (本式也采用自然单位制, 下同). 在非相对论情况下, 可选  $(H, l^2, j^2, j_z)$  为守恒

量完全集, 所以

$$\begin{aligned} s \cdot l &= \frac{1}{2}(j^2 - l^2 - s^2) \\ &= \frac{1}{2}[\chi(j+1) - \chi(l+1) - \frac{3}{4}] \\ &= \begin{cases} \frac{1}{2}l, & j = l + \frac{1}{2}, \\ -\frac{1}{2}(l+1), & j = l - \frac{1}{2} \end{cases} \quad (l \geq 1), \end{aligned} \quad (2)$$

则三维谐振子的径向方程可写为

$$H(l)\chi_l(r) = E\chi_l(r), \quad (3)$$

其中

$$\begin{aligned} H(l) &= -\frac{1}{2} \frac{d^2}{dr^2} + \frac{\chi(l+1)}{2r^2} + \frac{1}{2}r^2 + \frac{1}{2}\alpha(l) \quad (4) \\ \alpha(l) &= \begin{cases} \frac{1}{2}l, & j = l + \frac{1}{2}, \\ -\frac{1}{2}(l+1), & j = l - \frac{1}{2} \end{cases} \quad (l \geq 1). \end{aligned} \quad (5)$$

(3) 式可改为

$$\begin{aligned} D(l)\chi_l(r) &= \lambda_l \chi_l(r), \quad \lambda_l = -2E, \\ D(l) &= \frac{d^2}{dr^2} - \frac{\chi(l+1)}{r^2} - r^2 - \alpha(l) = -2H(l). \end{aligned} \quad (6)$$

用因式分解的方法<sup>[1,2,6,7]</sup>, 可解出这时的两类角动量和能量的升、降算符

$$\begin{aligned} A_+(l) &= \frac{d}{dr} - \frac{l+1}{r} + r, \\ A_-(l) &= \frac{d}{dr} + \frac{l}{r} - r, \end{aligned}$$

$$B_+(l) = \frac{d}{dr} - \frac{l+1}{r} - r, \quad B_-(l) = \frac{d}{dr} + \frac{l}{r} + r. \quad (7)$$

容易证明

$$\begin{aligned} A_+(l-1)A_-(l) &= D(l) + [2l-1 + \alpha(l)], \\ A_-(l+1)A_+(l) &= D(l) + [2l+3 + \alpha(l)], \\ B_+(l-1)B_-(l) &= D(l) - [2l-1 + \alpha(l)], \\ B_-(l+1)B_+(l) &= D(l) - [2l+3 + \alpha(l)], \end{aligned} \quad (8)$$

而且

$$\begin{aligned} &D(l) \mathbb{I} A_+(l-1) \chi_{l-1} \\ &= \{\lambda_{l-1} + 2 - [\alpha(l) - \alpha(l-1)]\} \mathbb{I} A_+(l-1) \chi_{l-1}, \\ &D(l) \mathbb{I} A_-(l+1) \chi_{l+1} \\ &= \{\lambda_{l+1} - 2 + [\alpha(l+1) - \alpha(l)]\} \mathbb{I} A_-(l+1) \chi_{l+1}, \\ &D(l) \mathbb{I} B_+(l-1) \chi_{l-1} \\ &= \{\lambda_{l-1} - 2 - [\alpha(l) - \alpha(l-1)]\} \mathbb{I} B_+(l-1) \chi_{l-1}, \\ &D(l) \mathbb{I} B_-(l+1) \chi_{l+1} \\ &= \{\lambda_{l+1} + 2 + [\alpha(l+1) - \alpha(l)]\} \mathbb{I} B_-(l+1) \chi_{l+1}. \end{aligned} \quad (9)$$

令标记能量的量子数为  $N = 2n_r + l + \frac{1}{2} \alpha(l)$ , 由上述(9)式的四式可知,  $A_+(l-1)$  的作用是使角动量  $l$  增加 1, 同时使能量  $E$  减小  $1 - \frac{1}{2}[\alpha(l) - \alpha(l-1)]$ , 即径向量子数  $n_r$  减小 1;  $A_-(l+1)$  的作用是使角动量  $l$  减小 1, 同时使能量  $E$  增加  $1 - \frac{1}{2}[\alpha(l+1) - \alpha(l)]$ , 即径向量子数  $n_r$  增加 1;  $B_+(l-1)$  的作用是使角动量  $l$  增加 1, 同时使能量  $E$  增加  $1 + \frac{1}{2}[\alpha(l) - \alpha(l-1)]$ , 即径向量子数  $n_r$  不变;  $B_-(l+1)$  的作用是使角动量  $l$  减小 1, 同时使能量  $E$  减小  $1 + \frac{1}{2}[\alpha(l+1) - \alpha(l)]$ , 即径向量子数  $n_r$  不变.

为了表示出算子  $A$  和  $B$  对  $l$  和  $n_r$  的这种性质, 可以把它们记为

$$\begin{aligned} A_+(l) &\rightarrow A(l \uparrow, n_r \downarrow) = \frac{d}{dr} - \frac{l+1}{r} + r, \\ A_-(l) &\rightarrow A(l \downarrow, n_r \uparrow) = \frac{d}{dr} + \frac{l}{r} - r, \\ B_+(l) &\rightarrow B(l \uparrow, n_r) = \frac{d}{dr} - \frac{l+1}{r} - r, \\ B_-(l) &\rightarrow B(l \downarrow, n_r) = \frac{d}{dr} + \frac{l}{r} + r. \end{aligned} \quad (10)$$

再由此构造出另外两类算子  $C$  和  $D$ . 可以证明

$$\begin{aligned} &A((l+1) \downarrow, n_r \uparrow) B(l \uparrow, n_r) |l, n_r\rangle \\ &= [D(l) - 2r \frac{d}{dr} + 2r^2 - 1 + \alpha(l)] |l, n_r\rangle \\ &= -2 \left( r \frac{d}{dr} - r^2 + l + 2n_r + 2 \right) |l, n_r\rangle, \\ &B((l+1) \downarrow, n_r) A(l \uparrow, n_r \downarrow) |l, n_r\rangle \\ &= [D(l) + 2r \frac{d}{dr} + 2r^2 + 1 + \alpha(l)] |l, n_r\rangle \\ &= 2 \left( r \frac{d}{dr} + r^2 - l - 2n_r - 1 \right) |l, n_r\rangle. \end{aligned}$$

可以令

$$\begin{aligned} \alpha(l, n_r \uparrow) &= r \frac{d}{dr} - r^2 + l + 2n_r + 2, \\ \alpha(l, n_r \downarrow) &= r \frac{d}{dr} + r^2 - l - 2n_r - 1. \end{aligned} \quad (11)$$

它们的作用分别是使  $n_r$  增加 1 或减小 1, 而保持  $l$  不变, 能量  $E$  增加 2 或减小 2. 类似地可以证明

$$\begin{aligned} &A((l-1) \downarrow, n_r \uparrow) B(l \downarrow, n_r) |l, n_r\rangle \\ &= [D(l) + \frac{2l-1}{r} \frac{d}{dr} + \frac{l(2l-1)}{r^2} + \alpha(l)] |l, n_r\rangle \\ &= (2l-1) \left( \frac{1}{r} \frac{d}{dr} + \frac{l}{r^2} - \frac{2l+4n_r+3}{2l-1} \right) |l, n_r\rangle, \\ &A((l+1) \uparrow, n_r \downarrow) B(l \uparrow, n_r) |l, n_r\rangle \\ &= [D(l) - \frac{2l+3}{r} \frac{d}{dr} + \frac{(l+1)(2l+3)}{r^2} + \alpha(l)] |l, n_r\rangle \\ &= -(2l+3) \left( \frac{1}{r} \frac{d}{dr} - \frac{l+1}{r^2} + \frac{2l+4n_r+3}{2l+3} \right) |l, n_r\rangle. \end{aligned}$$

可以令

$$\begin{aligned} D(l \downarrow \downarrow, n_r \uparrow) &= \frac{1}{r} \frac{d}{dr} + \frac{l}{r^2} - \frac{2l+4n_r+3}{2l-1}, \\ D(l \uparrow \uparrow, n_r \downarrow) &= \frac{1}{r} \frac{d}{dr} - \frac{l+1}{r^2} + \frac{2l+4n_r+3}{2l+3}. \end{aligned} \quad (12)$$

$D(l \downarrow \downarrow, n_r \uparrow)$  的作用是使  $l$  减小 2,  $n_r$  增加 1, 能量减小  $\frac{1}{2}[\alpha(l) - \alpha(l-2)]$ ;  $D(l \uparrow \uparrow, n_r \downarrow)$

的作用是使  $l$  增加 2,  $n_r$  减小 1, 能量增加  $\frac{1}{2}[\alpha(l+2) - \alpha(l)]$ . 这样就找到了三维各向同性谐振子在自旋-轨道耦合时的四类升降算子  $A, B, C, D$ . 它们相应的选择定则和守恒量子数列于表 1.

考虑到(4)式中  $\alpha(l)$  在  $l \neq 0$  时有两个值, 所以我们就发现能级出现了分裂, 如图 1 所示的就是这时的能级图.

表 1

升降算子	$l$	$n_r$	$E$	守恒量子数
$A(l \uparrow, n_r \downarrow)$	$l \rightarrow l+1$	$n_r \rightarrow n_r - 1$	$E \rightarrow E - 1 + \frac{1}{2}[\alpha(l+1) - \alpha(l)]$	$l + n_r$
$A(l \downarrow, n_r \uparrow)$	$l \rightarrow l-1$	$n_r \rightarrow n_r + 1$	$E \rightarrow E + 1 - \frac{1}{2}[\alpha(l) - \alpha(l-1)]$	$l + n_r$
$B(l \uparrow, n_r)$	$l \rightarrow l+1$	$n_r \rightarrow n_r$	$E \rightarrow E + 1 + \frac{1}{2}[\alpha(l+1) - \alpha(l)]$	$n_r$
$B(l \downarrow, n_r)$	$l \rightarrow l-1$	$n_r \rightarrow n_r$	$E \rightarrow E - 1 - \frac{1}{2}[\alpha(l) - \alpha(l-1)]$	$n_r$
$\alpha(l, n_r \uparrow)$	$l \rightarrow l$	$n_r \rightarrow n_r + 1$	$E \rightarrow E + 2$	$l$
$\alpha(l, n_r \downarrow)$	$l \rightarrow l$	$n_r \rightarrow n_r - 1$	$E \rightarrow E - 2$	$l$
$D(l \uparrow \uparrow, n_r \downarrow)$	$l \rightarrow l+2$	$n_r \rightarrow n_r - 1$	$E \rightarrow E + \frac{1}{2}[\alpha(l+2) - \alpha(l)]$	$l + 2n_r$
$D(l \downarrow \downarrow, n_r \uparrow)$	$l \rightarrow l-2$	$n_r \rightarrow n_r + 1$	$E \rightarrow E - \frac{1}{2}[\alpha(l) - \alpha(l-2)]$	$l + 2n_r$

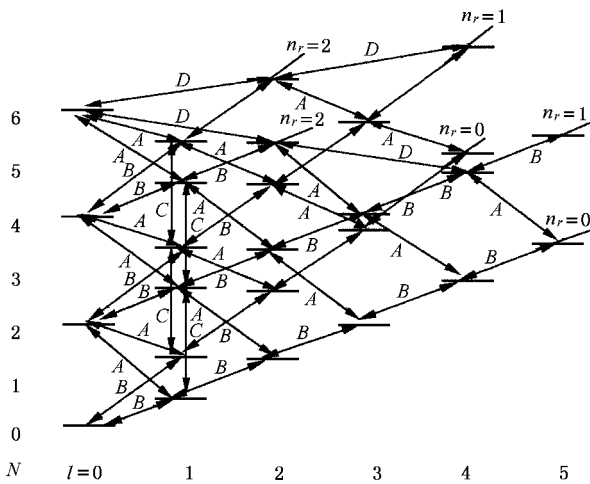


图 1 能级图

### 3. 一般解法

具有自旋-轨道耦合的三维各向同性谐振子的径向方程为

$$R_l'' + \frac{2}{r}R_l' + \left[ 2E - r^2 - \frac{l(l+1)}{r^2} - \alpha(l) \right] R_l = 0, \tag{13}$$

可将其化为合流超几何方程并解得径向波函数为<sup>[8]</sup>

$$R_l(r) = r^l \exp\left(-\frac{r^2}{2}\right) F\left(\frac{1}{2}\left(l + \frac{3}{2} - E + \frac{1}{2}\alpha(l)\right), l + \frac{3}{2}, \xi\right), \tag{14}$$

式中

$$\xi = r^2, F\left(\frac{1}{2}\left(l + \frac{3}{2} - E + \frac{1}{2}\alpha(l)\right), l + \frac{3}{2}, \xi\right)$$

为合流超几何函数, 而

$$F(\alpha, \gamma, \xi) = \sum_{k=0}^{\infty} \frac{\alpha(\alpha+1)\dots(\alpha+k-1)}{k!(\gamma+1)\dots(\gamma+k-1)} \xi^k. \tag{15}$$

上面的无穷级数必须中断为一个多项式, 否则所得径向波函数在  $\xi \rightarrow \infty$  时趋于  $\infty$ , 不满足束缚态的边界条件. 这就要求  $\alpha = 0$  或负整数, 即

$$\alpha = \frac{1}{2}\left(l + \frac{3}{2} - E + \frac{1}{2}\alpha(l)\right) = -n_r, \\ n_r = 0, 1, 2, \dots$$

所以能量本征值为(类似的解法也可参见文献[9,10])

$$E = 2n_r + l + \frac{3}{2} + \frac{1}{2}\alpha(l), \tag{16}$$

与升、降算子方法相比有同样的结果.

[1] Liu Y F and Zeng J Y 1997 *Acta Phys. Sin.* **46** 417 (in Chinese) [刘宇峰、曾谨言 1997 物理学报 **46** 417]

[2] Liu Y F, Lei Y A and Zeng J Y 1997 *Phys. Lett. A* **231** 9

[3] Zha X W 2002 *Acta Phys. Sin.* **51** 723 (in Chinese) [查新未 2002]

- 物理学报 **51** 723 ]
- [ 4 ] Zeng J Y 2000 *Quantum Mechanics*( Beijing : Science Press ) 609( in Chinese ] 曾谨言 2000 量子力学( 卷 II )( 北京 : 科学出版社 ) 第 609 页 ]
- [ 5 ] Cai Z Y 2002 *Journal of Guangxi Teachers College( Natural Science Edition )* **19** 57( in Chinese ] 蔡昭蕴 2002 广西师范学院学报 ( 自然科学版 ) **19** 57 ]
- [ 6 ] Schrödinger E 1940 *Proc. Roy. Irish Acad. A* **46** 9 ,183
- [ 7 ] Infeld L and Hull T E 1951 *Rev. Mod. Phys.* **23** 21
- [ 8 ] Zeng J Y 2000 *Quantum Mechanics*( Beijing : Science Press ) 315( in Chinese ] 曾谨言 2000 量子力学( 卷 II )( 北京 : 科学出版社 ) 第 315 页 ]
- [ 9 ] Di Y M 2003 *Acta Phys. Sin.* **52** 786( in Chinese ] 狄尧民 2003 物理学报 **52** 786 ]
- [ 10 ] Hou C F , Sun X D , Zhou Z X and Li Y 1999 *Acta Phys. Sin.* **48** 385( in Chinese ] 侯春风、孙秀冬、周忠祥、李 焱 1999 物理学报 **48** 385 ]

## Four kinds of raising and lowering operators of three-dimensional isotropic harmonic oscillators with spin-orbit coupling

Fu Mei-Huan<sup>1,2)</sup> Ren Zhong-Zhou<sup>1)</sup>

<sup>1)</sup> ( Department of Physics , Nanjing University , Nanjing 210008 , China )

<sup>2)</sup> ( Nanjing Institute of Industry Technology , Nanjing 210007 , China )

( Received 20 May 2003 ; revised manuscript received 29 July 2003 )

### Abstract

The method of raising and lowering operator is used to solve the problem of three-dimensional isotropic harmonic oscillator with Spin-orbit coupling. The energy level splitting of the harmonic oscillator is analyzed and discussed.

**Keywords** : spin-orbit coupling , harmonic oscillator , raising and lowering operator

**PACC** : 0365